

Chapitre 4 : Systèmes Numériques

John Klein

Université de Lille - CRISAL UMR CNRS 9189



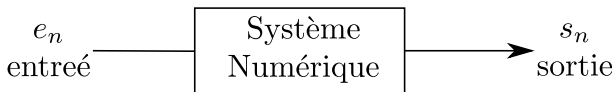


FIGURE – Vue schématique « entrée / sortie » d'un système numérique.

Quel **impact** du passage au numérique sur la modélisation des systèmes ? :

- Les résultats établis dans le chapitre 2 sont-ils conservés après échantillonnage ?
- La fonction de transfert dans le domaine de Laplace ou de Fourier est-elle toujours un outil de représentation aussi efficace ?

Le but du chapitre est de répondre à ces interrogations.

Plan du chapitre

- 1 Généralités
- 2 Equation aux différences
 - Transformée en Z
- 3 Systèmes de convolution numériques
 - Fonction de transfert en Z des filtres numériques
 - Synthèse de filtres numériques

- Un système régi par une **équation différentielle** est l'archétype du système de convolution.
- Ces équations font intervenir des **dérivées** de signaux.
- Pour un signal analogique $x(t)$, on approxime sa dérivée en numérique par :

$$\frac{x_n - x_{n-1}}{T_e} \approx x'(t), \quad (1)$$

quand $t = nT_e$.

- En itérant, on approxime sa dérivée $m^{\text{ième}}$ en numérique par :

$$\begin{aligned} x^{(m)}(t) &\approx \frac{x_n^{(m-1)} - x_{n-1}^{(m-1)}}{T_e}, \\ &\approx \frac{x_n^{(m-2)} - 2x_{n-1}^{(m-2)} + x_{n-2}^{(m-2)}}{T_e^2}, \\ &\approx \frac{1}{T_e^m} \sum_{i=0}^m \binom{i}{m} (-1)^i x_{n-i}. \end{aligned} \quad (2)$$

- Considérons une équation différentielle générique :

$$a_p s^{(p)}(t) + \dots + a_1 s'(t) + a_0 s(t) = b_m e^{(m)}(t) + \dots + b_1 e'(t) + b_0 e(t).$$

- En utilisant les approximations précédentes, le passage au numérique produit l'équation suivante :

$$\alpha_p s_{n-p} + \dots + \alpha_1 s_{n-1} + \alpha_0 s_n = \beta_m e_{n-m} + \dots + \beta_1 e_{n-1} + \beta_0 e_n,$$

avec $\alpha_i = \sum_{k=i}^p \binom{k}{p} \frac{a_k}{T_e^k}$ et $\beta_i = \sum_{k=i}^m \binom{k}{m} \frac{b_k}{T_e^k}$.

- Cette équation est appelée **équation aux différences** et est un **système numérique**.

Equation aux différences :

- Les systèmes régis par des équations aux différences sont toujours des **systèmes de convolution**.
- On conserve la propriété fondamentale suivante :

Propriété

Soit un système de convolution numérique (ou filtre numérique) dont la réponse impulsionnelle^a est notée h_n . Soit e_n un signal d'entrée quelconque et s_n sa sortie. On a alors :

$$s_n = \{h \star e\}_n, \quad (3)$$

$$\Leftrightarrow s_n = \sum_{i=-\infty}^{+\infty} e_{n-i} h_i. \quad (4)$$

a. La définition de la réponse impulsionnelle reste inchangée en numérique. Il s'agit de la sortie produite quand l'entrée est l'impulsion de Dirac δ_n .

Catégories de filtres numériques :

Définition

On appelle **filtre à réponse impulsionnelle finie** (RIF) tout filtre numérique tel que sa réponse impulsionnelle h_n est non-nulle pour un nombre fini de valeur de n . Autrement dit, il existe un certain entier M au delà duquel $h_n = 0, \forall n \geq M$.

- Quand l'équation aux différences est telle que tous les coefficients α_i sont nuls sauf α_0 , on tombe sur filtre RIF causal avec en particulier :

$$h_i = \begin{cases} \frac{\beta_i}{\alpha_0} & \text{si } 0 \leq i \leq n \\ 0 & \text{sinon} \end{cases} . \quad (5)$$

Catégories de filtres numériques :

Définition

On appelle **filtre à réponse impulsionnelle infinie** (RII) tout filtre numérique tel que sa réponse impulsionnelle h_n est non-nulle pour un nombre infini de valeur de n .

- Infinité de valeurs non nulles \rightarrow peu évident à calculer en pratique.

Attention

Chez certains auteurs, filtres RII = **filtres récurrents**.

Un filtre est récurrent, si il existe un $\alpha_i \neq 0$ en plus de α_1 .

- Quand le calcul de la valeur actuelle de la sortie y_n dépend d'au moins une de ses valeurs passées y_{n-i} , on obtient le plus souvent un filtre RII.

Plan du chapitre

- 1 Généralités
- 2 Equation aux différences
 - Transformée en Z
- 3 Systèmes de convolution numériques
 - Fonction de transfert en Z des filtres numériques
 - Synthèse de filtres numériques

Vers un **modèle** efficace de filtre numérique :

- Peut-on utiliser la **transformée de Laplace** sur un filtre numérique x_n ?
- Oui mais à condition de l'appliquer au signal échantillonné $x_e(t)$ défini en tout t :

$$\begin{aligned}\mathcal{L}\{x_e\}(p) &= \int_0^{+\infty} x_e(t) e^{-pt} dt, \\ &= \int_0^{+\infty} \sum_{k \in \mathbb{Z}} x(kT_e) \delta(t - kT_e) e^{-pt} dt, \\ &= \sum_{k=0}^{+\infty} x(kT_e) e^{-pkT_e}, \\ &= \sum_{k=0}^{+\infty} x_k e^{-pkT_e}.\end{aligned}\tag{6}$$

Vers un **modèle** efficace de filtre numérique :

- Une fonction de transfert de filtre numérique n'aura pas une expression simple en Laplace à cause des exponentielles.
- En posant le **changement de variable** $z = e^{pT_e}$, on reconnaît un objet mathématique appelé *série entière*. Cet objet offre alors une nouvelle représentation du signal qu'on qualifie de **transformée en Z** :

Définition

Soit x_k un signal numérique. Soit $z \in \mathbb{C}$ une variable complexe. On appelle **Transformée en Z** de x_k la fonction notée $X(z)$ telle que :

$$X(z) = \sum_{k=0}^{+\infty} x_k z^{-k}. \quad (7)$$

On note \mathcal{Z} l'opérateur qui à x_k associe $X(z) = \mathcal{Z}\{x_k\}(z)$. Cette définition est parfois étendue pour les k négatifs.

Transformée en Z :

La TZ est très liée à la transformée de Laplace mais présente les avantages suivants :

- une **écriture** des résultats **plus concise** et ne faisant plus apparaître le paramètre T_e . En effet, le rôle du paramètre T_e est excessivement important lors de l'échantillonnage mais une fois celui-ci terminé, il ne sera plus spécialement influent.
- une équivalence formelle avec les **séries entières** qui ont fait l'objet de nombreux développements mathématiques que l'on va pouvoir exploiter.

Transformée en Z :

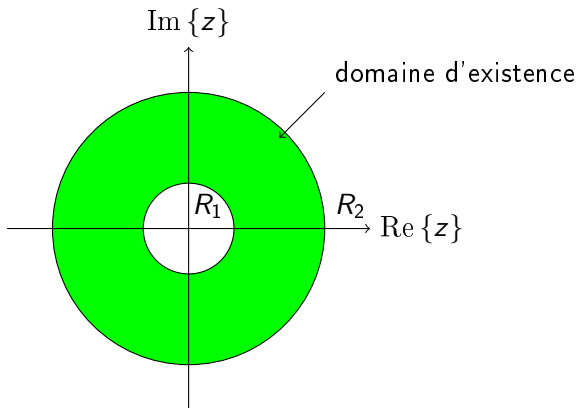
- La transformée en Z notée $X(z)$ n'est pas forcément définie pour tout $z \in \mathbb{C}$. Il y a même des cas où elle n'est définie nulle part.
- On sait que le **domaine de définition** d'une transformée en Z est dépend de valeurs-frontière pour le module $|z|$. Ces bornes sont appelées **rayons** :

Propriété

Soit $X(z)$ la transformée en Z de la suite x_n . Pour toute transformée en Z définie sur un ensemble non vide, il existe un couple de réels $(R_1, R_2) \in \mathbb{R}^2$ tel que $R_1 \leq R_2$ et $X(z)$ est définie pour tout z tel que $R_1 \leq |z| \leq R_2$.

Transformée en Z :

- Le **domaine d'existence** d'une transformée en Z dans le cas le plus courant où $0 < R_1 < R_2 < +\infty$ a l'allure suivante :



- Quand le signal x_n est **causal** alors on a $R_2 = +\infty$.

Transformée en Z : propriétés

- Linéarité : $\mathcal{Z} \{ax_n + by_n\} = a\mathcal{Z} \{x_n\} + b\mathcal{Z} \{y_n\},$
- Retard : $\mathcal{Z} \{x_{n-k}\} = z^{-k} \mathcal{Z} \{x_n\},$
- Modulation : $\mathcal{Z} \{a^n x_n\} (z) = X \left(\frac{z}{a} \right),$
- Dérivation : $\mathcal{Z} \{nx_n\} (z) = -zX'(z),$
- Symétrie : $\mathcal{Z} \{x_{-n}\} (z) = X \left(\frac{1}{z} \right),$
- Valeur initiale : $\lim_{|z| \rightarrow +\infty} X(z) = x_0,$
- Valeur finale : $\lim_{|z| \rightarrow 1} (z-1)X(z) = \lim_{n \rightarrow +\infty} x_n,$
- Convolution : $\mathcal{Z} \{x_n \star y_n\} = \mathcal{Z} \{x_n\} \times \mathcal{Z} \{y_n\}.$

Transformée en Z : propriétés

- Ces propriétés sont **valables** en des valeurs de z pour lesquelles tous les termes utilisés sont définis.
- Par exemple, si on note \mathcal{D}_x et \mathcal{D}_y les domaines d'existence de $X(z)$ et $Y(z)$ et que $\mathcal{D}_x \cap \mathcal{D}_y = \emptyset$ alors dans ce cas la propriété de linéarité n'a pas de sens.

Plan du chapitre

- 1 Généralités
- 2 Equation aux différences
 - Transformée en Z
- 3 Systèmes de convolution numériques
 - Fonction de transfert en Z des filtres numériques
 - Synthèse de filtres numériques

- Appliquons la TZ à la forme générale de l'équation aux différences :

$$\begin{aligned}
 \mathcal{Z} \left\{ \sum_{i=0}^p \alpha_i s_{n-i} \right\} &= \mathcal{Z} \left\{ \sum_{j=0}^m \beta_j e_{n-j} \right\}, \\
 \Leftrightarrow \sum_{i=0}^p \alpha_i \mathcal{Z} \{ s_{n-i} \} &= \sum_{j=0}^m \beta_j \mathcal{Z} \{ e_{n-j} \}, \\
 \Leftrightarrow \sum_{i=0}^p \alpha_i z^{-i} S(z) &= \sum_{j=0}^m \beta_j z^{-j} E(z), \\
 \Leftrightarrow S(z) \sum_{i=0}^p \alpha_i z^{-i} &= E(z) \sum_{j=0}^m \beta_j z^{-j}.
 \end{aligned}$$

- En définissant la **fonction de transfert** $H(z)$ du système numérique comme étant le rapport de la sortie sur l'entrée, on retrouve une forme habituelle de fraction rationnelle :

$$\begin{aligned} H(z) &= \frac{S(z)}{E(z)}, \\ &= \frac{\sum_{j=0}^m \beta_j z^{-j}}{\sum_{i=0}^p \alpha_i z^{-i}}. \end{aligned} \tag{8}$$

- On notera bien que les puissances de z sont **négatives**.

Fonction de transfert pour un filtre numérique :

- La fonction de transfert en Z est plus générale que celle dans le **domaine fréquentiel** qui s'obtient par le changement de variable $z = e^{2i\pi fT_e}$:

$$H(f) = H(z) \big|_{z=e^{2i\pi fT_e}}. \quad (9)$$

- La fonction $H(f)$ n'est **pas numérique** ! Logique ? Problématique ?
 - Un filtre numérique doit fonctionner indépendamment de la façon dont un signal d'entrée e_n a été échantillonné. Il est donc normal que T_e et N ne soient pas des paramètres d'influence pour $H(f)$.
 - $H(f)$ représente le comportement du système numérique en fréquentiel dans le cas général.
 - $H(f)$ ne peut être manipulée par un ordinateur. Pour effectuer un filtrage côté fréquentiel, il suffit de prendre $H_m = H\left(m\frac{F_e}{N}\right)$ et de procéder à une multiplication point par point avec $E_m = \mathcal{TFD}\{e_n\}$.

Fonction de transfert pour un filtre numérique :

- Pour filtrer, on a donc le choix entre les deux chemins suivants :

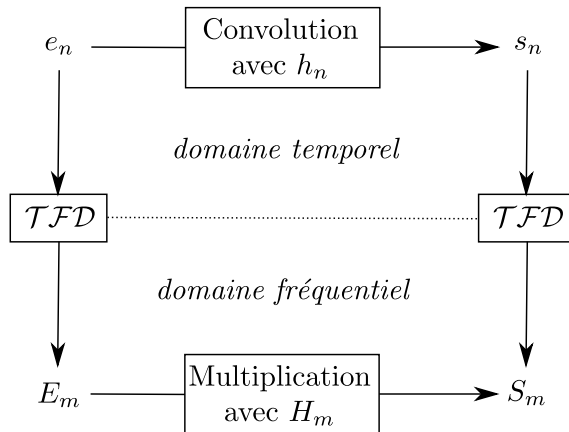
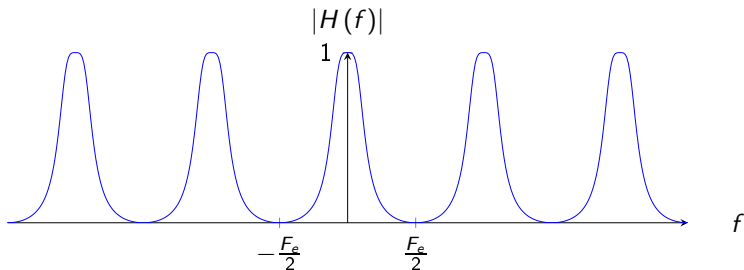


FIGURE – Lien « entrée / sortie » côté temporel ou côté fréquentiel.

Fonction de transfert pour un filtre numérique :

- La transformée en Z encode l'échantillonnage sous-jacent qui impose une **réplique** du spectre tous les multiples de F_e .
- La fonction $H(f)$ est donc **périodique** de période F_e . Exemple pour un passe-bas :

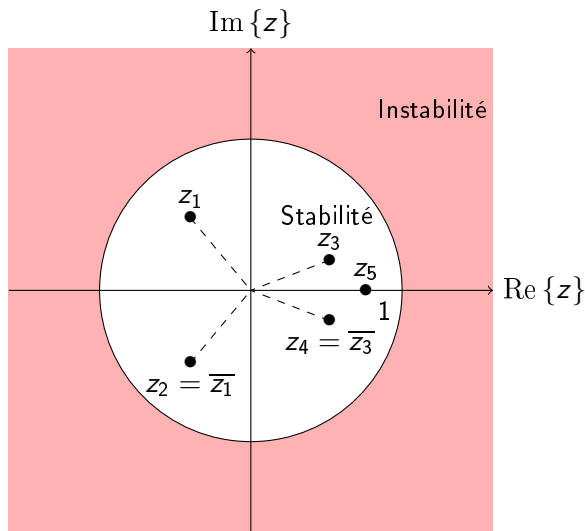


- Chaque **réplique** de la fonction de transfert va filter chaque **réplique** du signal d'entrée.

Fonction de transfert numérique : stabilité

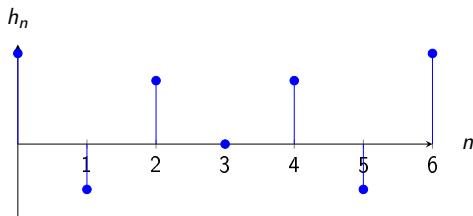
- La définition de la **stabilité** pour un système numérique est identique au cas analogique.
- Un filtre numérique type fraction rationnelle est **stable** si tous les **pôles** de la fonction de transfert $H(z)$ sont dans le **cercle unité**. Si on note z_i les pôles de $H(z)$, on a $|z_i| < 1$ (inégalité stricte) pour tout i .
- Tous les filtres **RIF** sont **stables**.

Fonction de transfert numérique : stabilité



Fonction de transfert numérique : phase linéaire

- Un filtre RIF causal est à phase linéaire si il y a une symétrie (ou une anti-symétrie) dans la suite h_n correspondant à la réponse impulsionnelle du filtre. Comme le filtre est RIF, on sait qu'il existe N tel que $h_N > 0$ et $h_n = 0$ pour tout $n > N$. La phase sera linéaire si on a $h_{n+i} = h_{N-i}$ pour tout i entre 0 et N . Pour illustration, la réponse impulsionnelle suivante satisfait cette condition :



- Aucun RII ne peut être à phase linéaire.

Plan du chapitre

1 Généralités

2 Equation aux différences

- Transformée en Z

3 Systèmes de convolution numériques

- Fonction de transfert en Z des filtres numériques
- Synthèse de filtres numériques

Synthèse de filtres numériques :

- Pour fabriquer aisément un filtre numérique, il faut obtenir sa fonction de transfert en Z .
- Nous supposons partir d'un cahier des charges similaire au cas analogique et exprimé sous forme d'un gabarit.
- Comme en analogique, on se focalise sur la synthèse de passe-bas.
- On donne deux méthodes de synthèse de RIF et deux autres pour les RII.
- Pour les RIF, connaître $H(z)$ est équivalent à connaître h_n .

Méthode de la fenêtre (RIF) :

- 1 Restreindre le gabarit à l'intervalle des fréquences $[-\frac{F_e}{2}; \frac{F_e}{2}]$. En effet, nous obtiendrons à la fin une réponse impulsionnelle h_n qui est supposé résulter de l'échantillonnage d'une réponse continue $h(t)$.
- 2 Trouver une fonction continue $H_{gab}(f)$ qui satisfait le gabarit à l'aide d'une approche vue au chapitre 2.
- 3 Calculer la transformée de Fourier inverse de $H_{gab}(f)$ pour obtenir une réponse impulsionnelle continue $h_{gab}(t) = \mathcal{F}^{-1}\{H_{gab}\}(t)$. On multipliera de plus $h_{gab}(t)$ par la constante T_e .
- 4 Échantillonner $h_{gab}(t)$ au pas de T_e symétriquement autour de zéro de sorte à obtenir N échantillons \tilde{h}_n .
- 5 (optionnel) Fenêtrer par une fonction de pondération w_n pour atténuer « l'effet mesure ».

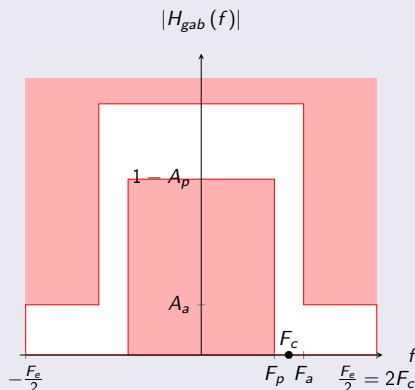
Méthode de la fenêtre :

- ⑥ Décaler la réponse de sorte à la rendre causale $h_n = \tilde{h}_{n-k}$ avec k la partie entière de $\frac{N}{2}$.
 - ⑦ Vérifier que le gabarit est respecté en calculant $H_m = \mathcal{TFD}\{h_n\}$.
- + Avantage : grâce à l'étape 6, le filtre obtenu est causal. Comme l'échantillonnage de l'étape 4 est symétrique le filtre est à déphasage linéaire.
- Inconvénient : cette méthode nécessite le calcul explicite de $h_{gab}(t)$ (rarement disponible). A cause de l'étape 6, le filtre a un régime transitoire potentiellement long.

Exemple

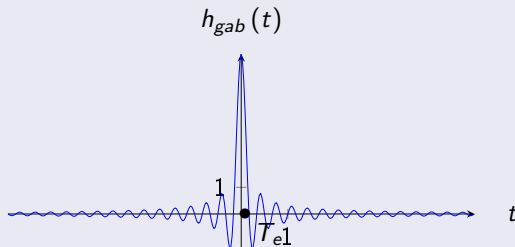
Pour un gabarit de départ identique à celui vu au chapitre 2 :

- Pour la 1^{ère} étape, il faut anticiper des problèmes de **recouvrement** car nous allons échantillonner à l'étape 4. La fréquence maximale de la fonction de transfert est la fréquence de coupure F_c d'où $F_e > 2F_c$ (Shannon). Choisissons par exemple $F_e = 4F_c$ et $F_c = \frac{F_p + F_a}{2}$:



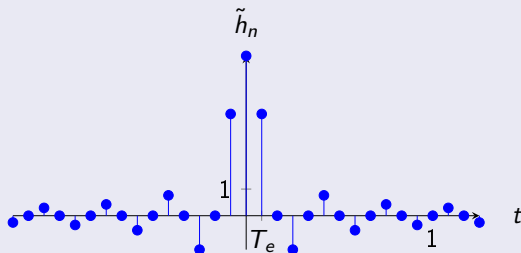
Exemple

- Pour la 2^{ème} étape, nous avons tout intérêt à choisir un filtre idéal : $H_{gab}(f) = \Pi_{[-F_c; F_c]}(f)$. Ce choix va faciliter l'étape suivante et on sait qu'il n'y a pas meilleur choix.
- Pour la 3^{ème} étape, il a été vu que si $H_{gab}(f) = \Pi_{[-F_c; F_c]}(f)$ alors $h_{gab}(t) = 2F_c \text{sinc}(2\pi F_c t)$. On donne ci-après le tracé de cette fonction :



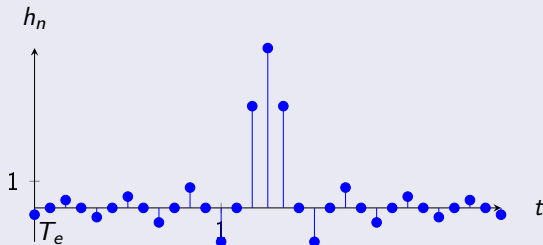
Exemple

- Pour la 4^{ème} étape, il est plus commode de choisir N impair, prenons par exemple $N = 31$. On conservera donc les échantillons suivants : $\{\tilde{h}_{-15} = T_e h_{gab}(-15 T_e), \dots, \tilde{h}_{15} = T_e h_{gab}(15 T_e)\}$. Le signal numérique \tilde{h}_n est alors donné par le graphique suivant :



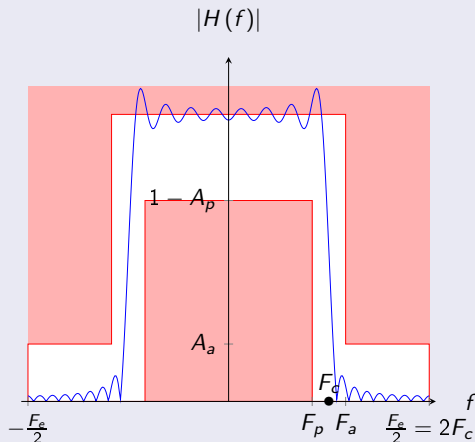
Exemple

- On passe la 5^{ème} étape pour arriver à la 6^{ème}, où il suffit de poser $\{h_0 = \tilde{h}_{-15}, \dots, h_{30} = \tilde{h}_{15}\}$ car la partie entière de $\frac{N}{2}$ vaut ici 30. Le signal numérique h_n est alors donné par le graphique suivant :



Exemple

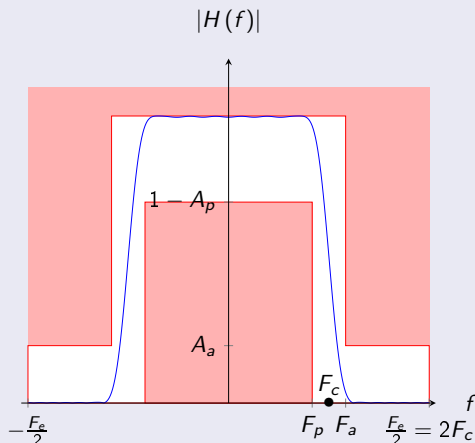
- Pour la 7^{ème} étape, on vérifie si la TFD de h_n respecte le gabarit :



La fréquence de coupure est bien localisée mais la fonction de transfert déborde du gabarit à cause oscillations en bande passante.

Exemple

- Le choix $N = 31$ revient à multiplier $h_{gab}(t)$ par la porte temporelle assez étroite $\Pi_{[0;30\tau_e]}(t)$. Côté fréquentiel, on récolte donc une convolution avec un sinus cardinal ce qui se traduit par ces oscillations parasites. Rajoutons l'étape 5 :



Remarque

En ayant choisi $N = 31$, la TFD ne peut donner que 31 valeurs spectrales H_m équi-réparties entre 0 et F_e . La qualité du dessin devrait donc être beaucoup plus approximative. Deux solutions sont possibles pour **augmenter artificiellement la résolution fréquentielle** d'une fonction de transfert numérique :

- la première consiste à rajouter des zéros à la suite $\{x_n\}_{n=0}^{N-1}$. On parle de **zero-padding**. La TFD fournira alors autant de valeurs spectrales supplémentaires qu'on a rajouté de zéros.
- la deuxième consiste à **échantillonner** la fonction de transfert $H(z)$ obtenue par changement de variable à partir de $H(z)$.

Attention ! Dans les deux cas, cela permet seulement d'avoir un tracé plus complet mais cela ne gomme absolument pas « **l'effet mesure** ». C'est bien pour cela qu'on observe des oscillations quand l'étape 5 n'est pas effectuée.

Méthode de discrétisation en fréquences (RIF) :

- 1 Restreindre le gabarit à l'intervalle des fréquences $[-\frac{F_e}{2}; \frac{F_e}{2}]$ (même explication que la méthode précédente).
- 2 Trouver une fonction continue $H_{gab}(f)$ qui satisfait le gabarit à l'aide d'une approche vue au chapitre 2.
- 3 Discrétiser la fonction $H_{gab}(f)$ à la même résolution que la TFD, *i.e.* $\frac{F_e}{N}$ situés sur l'intervalle $[0; F_e]$.
- 4 Conserver les N échantillons $H_m = F_e \times H_{gab}(m\frac{F_e}{N})$.
- 5 Appliquer la TFD inverse pour obtenir $h_n = \mathcal{TFD}^{-1}\{H_m\}$.

Méthode de discrétisation en fréquences :

- + Avantage : la méthode est simple à mettre en oeuvre et on a l'assurance de respecter le gabarit.
- Inconvénient : on ne sait pas si le filtre est causal ou à phase linéaire.

Méthode par invariance de la réponse impulsionnelle (RII) :

- 1 Restreindre le gabarit à l'intervalle des fréquences $[-\frac{F_e}{2}; \frac{F_e}{2}]$ (même explication que la méthode précédente).

- 2 Trouver une fonction continue $H_{gab}(p)$ (domaine de Laplace) qui satisfait le gabarit et qui est une fraction rationnelle à l'aide d'une approche vue au chapitre 2.

- 3 Décomposer cette fraction rationnelle en éléments simples :

$$H_{gab}(p) = \sum_{i=0}^n \frac{a_i}{p-p_i}$$
 avec les $\{p_i\}_{i=1}^n$ les pôles complexes de la fonction de transferts et les $\{a_i\}_{i=1}^n$ des constantes complexes.

- 4 Obtenir la fonction de transfert dans le domaine Z par changement de variable :
$$H(z) = T_e \sum_{i=0}^n \frac{a_i}{1 - e^{p_i T_e} z^{-1}}.$$

Méthode par invariance de la réponse impulsionnelle :

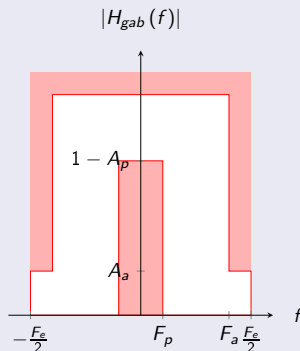
- + Avantage : on a l'assurance que la réponse impulsionnelle h_n telle que $\mathcal{Z}\{h_n\}(z) = H(z)$ coïncide avec la fonction $h(t)$ telle que $\mathcal{L}\{h\}(p) = H_{gab}(p) : h_n = h(nT_e)$ pour tout n . Grâce à ce point le gabarit est automatiquement respecté puisqu'on retrouvera dans la bande $[-\frac{F_e}{2}; \frac{F_e}{2}]$ la même fonction que H_{gab} mais à condition que le recouvrement soit faible ce qui impose souvent de choisir $F_e \gg F_c$!
- Inconvénient : la méthode ne s'adresse qu'aux fonctions de transfert type fraction rationnelle et il faut effectuer la décomposition en éléments simples.

Méthode par invariance de la réponse impulsionnelle :

Exemple

Pour un gabarit de départ identique à celui vu au chapitre 2 :

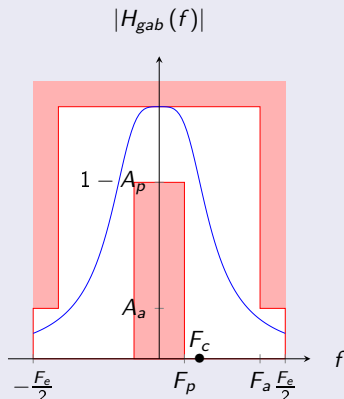
- Pour la 1^{ère} étape, il faut anticiper d'éventuels problèmes de recouvrement. La fréquence maximale de la fonction de transfert est la fréquence de coupure F_c d'où $F_e > 2F_c$ (Shannon). Choisissons par exemple $F_e = 1\text{Hz}$ et $F_c = \frac{1}{2\pi}$:



Méthode par invariance de la réponse impulsionnelle :

Exemple

- Pour la 2^{ème} étape, supposons qu'un filtre de Butterworth d'ordre 2 satisfait le gabarit : $H_{gab}(p) = \frac{1}{p^2 + \sqrt{2}p + 1}$ si $F_c = \frac{1}{2\pi}$.



Méthode par invariance de la réponse impulsionnelle :

Exemple

- Passons à la 3^{ème} étape qui consiste à faire la décomposition en éléments simples. Dans notre cas, on obtient

$$H_{gab}(p) = \frac{-i\frac{\sqrt{2}}{2}}{p + \frac{\sqrt{2}}{2} - i\frac{\sqrt{2}}{2}} + \frac{i\frac{\sqrt{2}}{2}}{p + \frac{\sqrt{2}}{2} + i\frac{\sqrt{2}}{2}}.$$

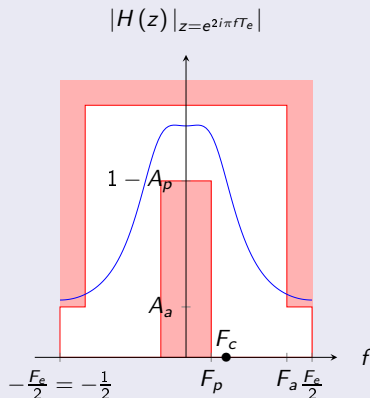
- Pour la 4^{ème} et dernière étape, il ne reste plus qu'à procéder au changement de variable d'où

$$H(z) = \frac{-i\frac{\sqrt{2}}{2}}{1 - e^{\left(-\frac{\sqrt{2}}{2} + i\frac{\sqrt{2}}{2}\right)T_e} z^{-1}} + \frac{i\frac{\sqrt{2}}{2}}{1 - e^{\left(-\frac{\sqrt{2}}{2} - i\frac{\sqrt{2}}{2}\right)T_e} z^{-1}}.$$

Méthode par invariance de la réponse impulsionnelle :

Exemple

- Pour vérification, on peut calculer $H(f)$ à partir de $H(z)$ et tracer son module :



On constate alors que le gabarit n'est pas respecté.

Méthode par transformation bilinéaire :

- ❶ Restreindre le gabarit à l'intervalle des fréquences numériques $f_{num} \in \left[-\frac{F_e}{2}; \frac{F_e}{2}\right]$ (même explication que la méthode précédente).
- ❷ Transformer ce gabarit en gabarit analogique à l'aide du changement de variable : $f_{ana} = \frac{1}{\pi T_e} \tan(\pi f_{num} T_e)$.
- ❸ Trouver une fonction continue $H_{gab}(p)$ (domaine de Laplace) qui satisfait le gabarit à l'aide d'une approche vue au chapitre 2.
- ❹ Effectuer le changement de variable $p = \frac{2}{T_e} \frac{1-z^{-1}}{1+z^{-1}}$ (appelé transformation bilinéaire) pour obtenir $H(z) = H_{gab}(p) \Big|_{p=\frac{2}{T_e} \frac{1-z^{-1}}{1+z^{-1}}}$.

Méthode par transformation bilinéaire :

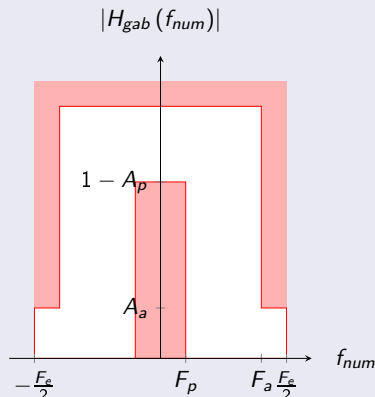
- + Avantage : La transformation bilinéaire fait correspondre le domaine de stabilité des fractions rationnelles en analogique (demi-plan gauche) à celui des fractions rationnelles en numérique (cercle unité). On est donc assuré que le filtre est stable.
- Inconvénient : Comme la méthode précédente, la méthode ne s'adresse qu'aux fonctions de transfert type fraction rationnelle puisque nous souhaitons que $H(z)$ en soit aussi une. La méthode n'assure pas que le gabarit sera respecté, une étape de vérification s'impose donc.

Méthode par transformation bilinéaire :

Exemple

Pour un gabarit de départ identique à celui vu au chapitre 2 :

- Pour la 1^{ère} étape, considérons le même gabarit que dans l'exemple précédent et qui concerne donc le filtre numérique souhaité. L'axe des fréquences est alors ici f_{num} :



Méthode par transformation bilinéaire :

Exemple

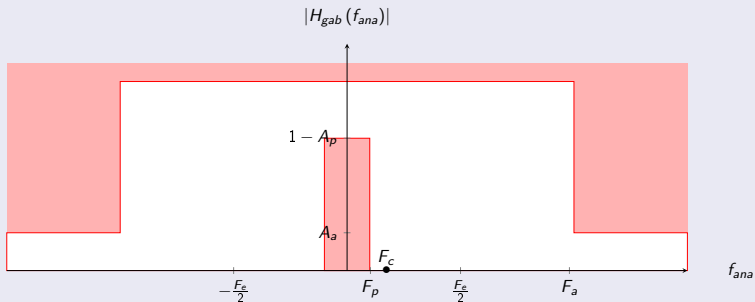
- Pour la 2^{ème} étape, il faut modifier ce gabarit en changeant l'axe des fréquences qui devient f_{ana} . Les seuls paramètres concernés sont donc F_p , F_a et F_c . Les modifications de leurs valeurs sont données dans le tableau suivant :

	f_{num}	f_{ana}
F_p	0.1	0.103
F_a	0.4	0.98
F_c	$\frac{1}{2\pi} \approx 0.16$	0.1734

Méthode par transformation bilinéaire :

Exemple

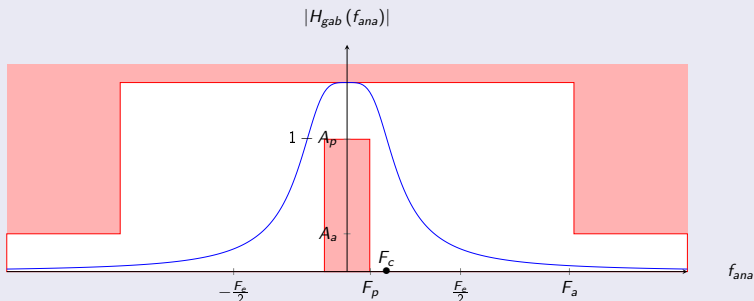
- On aboutit au gabarit analogique suivant :



Méthode par transformation bilinéaire :

Exemple

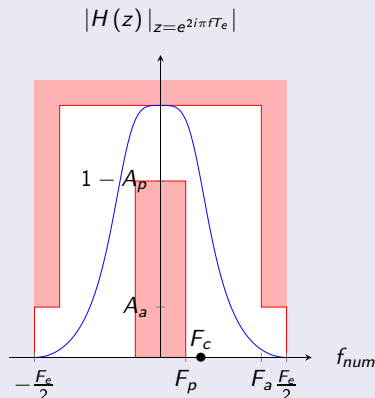
- Passons à la 3^{ème} étape et supposons qu'un filtre de Butterworth d'ordre 2 satisfait le gabarit analogique. Pour $F_c = 0.1734$, on a $H_{gab}(p) = \frac{157.91}{p^2 + 17.7715p + 157.9137}$. Son tracé (en module) s'intègre bien dans le gabarit analogique :



Méthode par transformation bilinéaire :

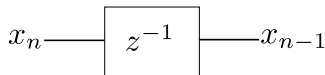
Exemple

- Pour la 4^{ème} étape, il ne reste plus qu'à procéder au changement de variable pour obtenir $H(z)$ dont l'expression explicite présente peu d'intérêt. En revanche, on peut vérifier que le gabarit numérique est respecté :

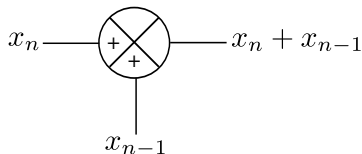


Réalisation de filtres numériques :

- Un filtre numérique s'effectue à l'aide de composants de base d'électronique numérique.
- Trois composants sont nécessaires pour reproduire sous forme de circuits une équation aux différences :
 - l'opérateur retard,

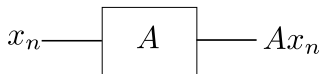


- le sommateur,



Réalisation de filtres numériques :

- le gain.



- Chacun de ces composants correspond à une fonction de **logique combinatoire et séquentielle**. Par exemple, l'opérateur retard correspond à une bascule D.

Réalisation de filtres numériques :

- Grâce aux **méthodes de synthèse** nous savons obtenir $H(z)$ dont l'expression contient les **coefficients** de l'équation aux différences correspondant au système que nous souhaitons réaliser :

$$\sum_{i=0}^p \alpha_i s_{n-i} = \sum_{j=0}^m \beta_j e_{n-j}.$$

Réalisation de filtres numériques :

- Le **circuit** d'électronique numérique correspondant à une équation quelconque est :

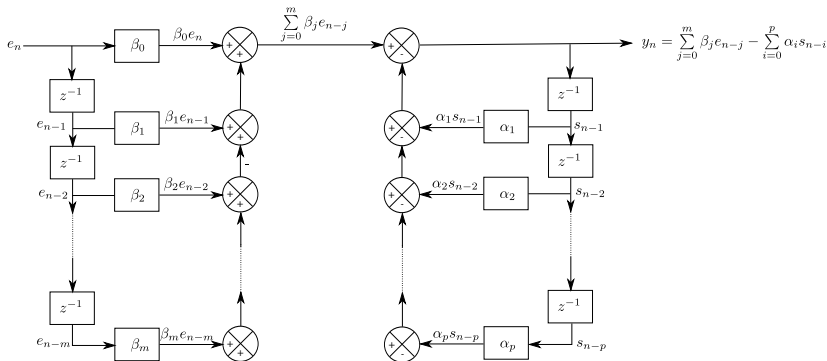


FIGURE – Vue schématique d'un circuit correspondant à une équation aux différences.